

# 目录

<b>1</b>	<b>问题描述</b>	<b>2</b>
1.1	类自然语言描述 . . . . .	2
1.2	一种形式化描述 . . . . .	2
<b>2</b>	<b>研究现状与对比算法</b>	<b>3</b>
2.1	非随机近似算法 . . . . .	3
2.1.1	最近邻点算法 . . . . .	3
2.1.2	克里斯托菲德斯算法 . . . . .	4
2.1.3	2-OPT 改进算法 . . . . .	7
2.2	随机型近似算法 . . . . .	9
2.2.1	王磊算法 . . . . .	9
2.2.2	模拟退火 . . . . .	10
<b>3</b>	<b>遗传算法及改进策略</b>	<b>11</b>
3.1	传统的遗传算法 . . . . .	11
3.2	改进的遗传算法 . . . . .	12
<b>4</b>	<b>实验设置与测试结果</b>	<b>14</b>
4.1	数据集与超参数 . . . . .	14
4.2	实验结果 . . . . .	14
<b>5</b>	<b>结束语</b>	<b>15</b>

# 求解旅行商问题的拟物拟人算法研究

杜睿

## 摘要

旅行商问题是一个典型的 NP 难度问题，虽易于描述但无法在多项式时间内求得最优解。近年来，国内外研究者设计各种近似算法（尤其是进化算法）期望求解该问题。

对于组合优化问题，有两条主线。第一条是如何表达可行解与解空间，语义（表现型）和存储（基因型）可以有所不同。第二条是如何平衡局部搜索与跳坑策略，平衡开采与探索：如果开采不足，收敛性不好；如果探索不够，容易早熟，陷入局部最优解。

本文提出了改进的遗传算法用于求解旅行商问题：在种群的初始化阶段发扬“继承”策略，减少迭代次数并保留种群多样性；在变异部分，在 K-OPT 的基础上，设计了一种基于“贪婪插入”的算子；同时，在选择操作中弃用轮盘赌方法，改用排位等级法。

选取城市数小于等于 1000 中全部 48 个 benchmark 测试用例对算法进行测试，每个实例计算 10 次。实验表明，提出的算法在求解质量和求解速度上优于所对比的算法。

## 1 问题描述

### 1.1 类自然语言描述

给定  $n$  个城市，对这  $n$  个城市中的每两个城市来说，从一个城市到另一个城市所走的路程是已知的正实数（符合三角形三边关系定则），其中  $n$  是已知的正整数， $n \geq 3$ 。这  $n$  个城市的全排列共有  $n!$  个。每一个这  $n$  个城市的全排列都恰好对应着一种走法：从全排列中的第一个城市走到第二个城市， $\dots$ ，从全排列中的第  $n-1$  个城市走到第  $n$  个城市，从全排列中的第  $n$  个城市回到第一个城市。要求给出一个这  $n$  个城市的全排列  $\sigma$ ，使得在  $n!$  个全排列中，全排列  $\sigma$  对应的走法所走的路程是最短的（严格来讲，由于起点任意、顺逆时针等价，问题复杂度为  $\frac{(n-1)!}{2}$ ）。

### 1.2 一种形式化描述

给定一个有向完全图  $G = (V, A)$ ，其中集合  $V = \{v_1, \dots, v_n\}$  是顶点集合，每个顶点代表一个城市， $n$  是顶点数（ $n \geq 3$ ），集合  $E = \{(v_i, v_j) | v_i, v_j \in V, v_i \neq v_j\}$  是有向边集合。

$c_{ij}$  是有向边  $(v_i, v_j)$  的长度 (权值),  $c_{ij}$  是已知的正实数, 其中  $(v_i, v_j) \in E$ 。集合  $\Sigma$  是顶点全排列的集合, 共有  $n!$  元素。 $\sigma$  是所有顶点的一个全排列,  $\sigma = (\sigma(1), \dots, \sigma(n))$ ,  $\sigma \in \Sigma$ ,  $\sigma(i) \in V$   $1 \leq i \leq n$  对应着一条遍历所有顶点的回路: 从顶点  $\sigma(1)$  走到顶点  $\sigma(2)$ ,  $\dots$ , 从顶点  $\sigma(n-1)$  走到顶点  $\sigma(n)$ , 从顶点  $\sigma(n)$  回到顶点  $\sigma(1)$ 。

全排列  $\sigma$  所对应的回路的长度记为  $L(\sigma)$ ,  $L(\sigma) = \sum_{i=2}^n c_{\sigma(i-1)\sigma(i)} + c_{\sigma(n)\sigma(1)}$ 。

目标是给出所有顶点的一个全排列  $\sigma^*$ , 使得  $L(\sigma^*) = \min_{\sigma \in \Sigma} L(\sigma)$ 。

每一对顶点  $v_i$  和  $v_j$  来说, 都有  $c_{v_i v_j}$  成立, 那么称问题是对称的 (Symmetric traveling salesman problem); 否则称问题是非对称的 (Asymmetric traveling salesman problem)。

## 2 研究现状与对比算法

求解旅行商问题的算法大体可分为两类: 确切算法和近似算法。

1. 确切算法保证给出最优解, 但由于“组合爆炸”, 其仅可用于计算较小规模实例。
2. 近似算法, 或许有可能在短时间内, 给出相当接近最优解的近似解。其中, 非随机性近似算法包括构建式启发/贪婪算法, 克里斯托菲德斯算法; 随机性近似算法包括随机局域搜索、模拟退火、遗传算法、粒子群算法等。

本节接下来介绍对比算法, 包括非随机近似算法 (最近邻点算法、克里斯托菲德斯算法以及 2-OPT 改进算法) 和随机近似算法 (王磊算法、模拟退火算法)。

### 2.1 非随机近似算法

#### 2.1.1 最近邻点算法

顾名思义, 在选定一个起始城市  $s$  后, 每次贪婪地选择距离当前城市最近的未访问城市  $v$  作为下一站; 依次类推, 直至将所有城市访问一遍, 最后回到出发城市  $s$ 。伪码如下:

---

**Algorithm 1:** GreedyNearestNeighbor Algorithm

---

**input** :  $V = \{v_1, \dots, v_n\}, \text{dist}(\cdot, \cdot), L(\cdot), s \in V$

**output:**  $\sigma^*, L$

```

1  $tour \leftarrow [s], \text{visited} \leftarrow \{s\}, L \leftarrow 0;$ 
2 while  $|tour| < n$  do
3    $v \leftarrow \arg \min_{u \in V \setminus \text{visited}} \text{dist}(\text{last}(tour), u);$ 
4    $tour.append(v), \text{visited} \leftarrow \text{visited} \cup \{v\};$ 
5  $\sigma^* \leftarrow tour, L \leftarrow L(\sigma^*);$ 
```

---

### 2.1.2 克里斯托菲德斯算法

可证明最差情况下, 该近似算法所得回路长度也不会超过最优回路长度的 1.5 倍。求最小值问题, 设  $Opt$  是最优值,  $x$  表示某近似算法给出的一个值, 一般规定,  $Opt \leq x \leq \alpha \times Opt$ ,  $\alpha$  记为该算法的近似比, 可用于评价算法优劣。元启发算法虽然有可能得出比较好的近似解, 但往往不涉及在最差情况下的效率证明。

首先, 引入近似比为 2 的算法 (2-Approximation):

- 定义:  $S$  代表一系列边 (允许重边),  $c(S)$  代表各边权重 (长度) 之和。
- 定义:  $H_G^*$  为无向多重图  $G$  上, 长度最短的哈密尔顿回路 (Hamiltonian Cycle), 途中经过所有点且只经过一次。
- 构造最小生成树  $T$ , 根据最小权生成树定义,  $c(H_G^*) \geq c(H_G^* - e) \geq c(T)$ 。
- 按深度优先搜索次序记录回路  $C$ , 下探一次, 回溯一次, 因此  $c(C) = 2 \times c(T)$ 。
- 搭桥 (short-cut/bypass) 略过重复访问的点得到符合问题描述的新回路  $C'$  (最后回到起点), 例如, 1, 2, 3, 4, 5, 6..., 1。

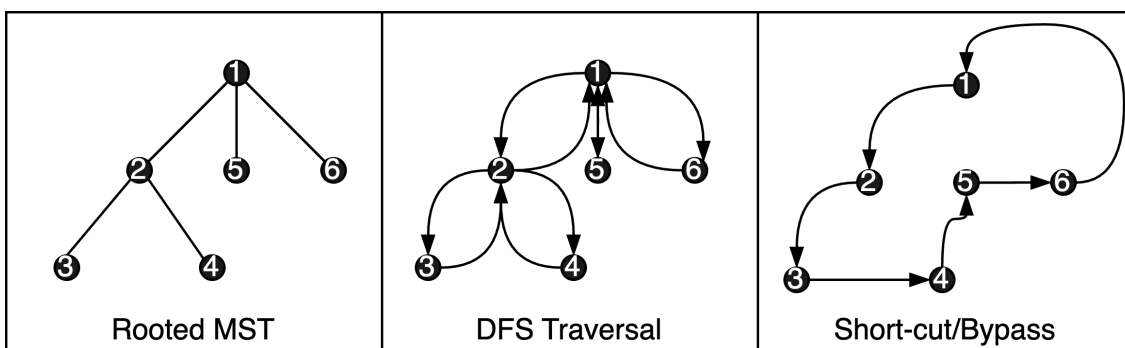


图 1: 近似比为 2 的算法 (引入)

证明如下:

- 由 e、三角形三条边关系定则,  $c(C') \leq c(C)$ ;
- 由 c,  $c(H_G^*) \geq c(H_G^* - e) \geq c(T)$ ;
- 由 d,  $c(C) = 2 \times c(T)$ ;
- 故  $c(C') \leq 2c(H_G^*)$ ;
- 因此, 该近似算法所得解, 最多也不会超过最优解的 2 倍。

然后，仍基于最小生成树，想方设法减小“每边下探一次，回溯一次”带来的额外开销，导出理论近似比为 1.5 的算法。期待一笔画、不重边地遍历所有顶点，可以将问题转换成“欧拉回路”问题。无向图存在欧拉回路的充要条件为：该图为连通图，且所有顶点度数均为偶数。倘若‘奇度数’顶点为偶数个（证明见下），那么可以通过将其两两匹配，为每一个顶点都“附赠”一个度，这样便可以满足“顶点度数均为偶数”条件。

- (a) 定义： $S$  代表一系列边（允许重边）， $c(S)$  代表各边权重（长度）之和。
- (b) 定义： $H_G^*$  为无向多重图  $G$  上，长度最短的哈密尔顿回路（Hamiltonian Cycle），即途中经过所有点且只经过一次。
- (c) 定义：假设  $S$  为无向多重图  $G$  上的导出子图，在  $S$  上长度最短的哈密尔顿回路记为  $H_S^*$ 。根据三角形三边关系定则易证， $c(H_S^*) \leq c(H_G^*)$ 。
- (d) 构造最小生成树  $T$ ，根据最小权生成树定义， $c(H_G^*) \geq c(H_G^* - e) \geq c(T)$ 。
- (e) 分离在  $T$  上度数为奇数的点，生成导出子图  $S$ （根据握手定理，给定无向图  $G = (V, E)$ ，一条边贡献 2 度，故有  $\sum \deg G(v) = 2|E|$ ；除开度数为偶数的顶点所贡献的度数，推论可知，度数为奇数顶点数有偶数个）；
- (f) 构造  $S$  的最小权完美匹配  $M$ ，构造多重图  $G' = T \cup M$ （此时每个顶点均为偶数度，故存在欧拉回路）；
- (g) 生成  $G'$  的欧拉回路  $C$ ， $c(C) = c(T) + c(M)$ ；
- (h) 搭桥（short-cut/bypass）略过重复访问的点（起点终点不删）得到符合问题描述的新回路  $C'$ （最后回到起点）。

证明：

- 由 e、三角形三边关系定则， $c(C') \leq c(C)$ ；
- 由 d， $c(H_G^*) \geq c(H_G^* - e) \geq c(T)$ ；
- 由 g， $c(C) = c(T) + c(M)$ ；
- 由 f、c， $c(M) + c(M) \leq c(M1) + c(M2) = c(H_S^*) \leq c(H_G^*)$ ；
- 故  $c(C') \leq c(T) + c(M) \leq c(H_G^*) + \frac{1}{2}c(H_G^*)$ ；
- 即得证。

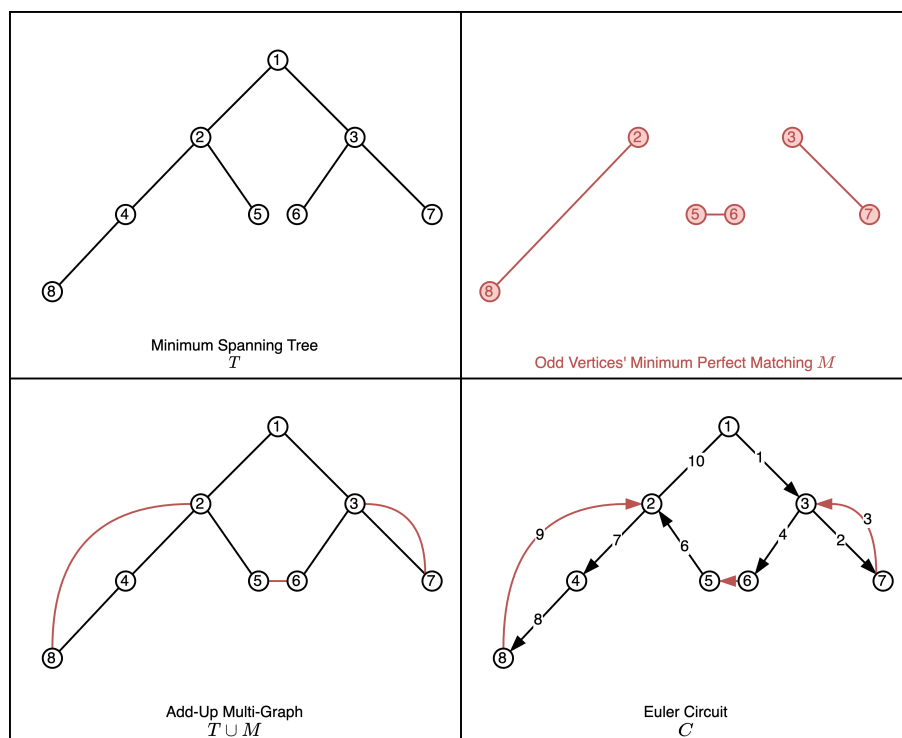


图 2: 克里斯托菲德斯算法 (步骤)

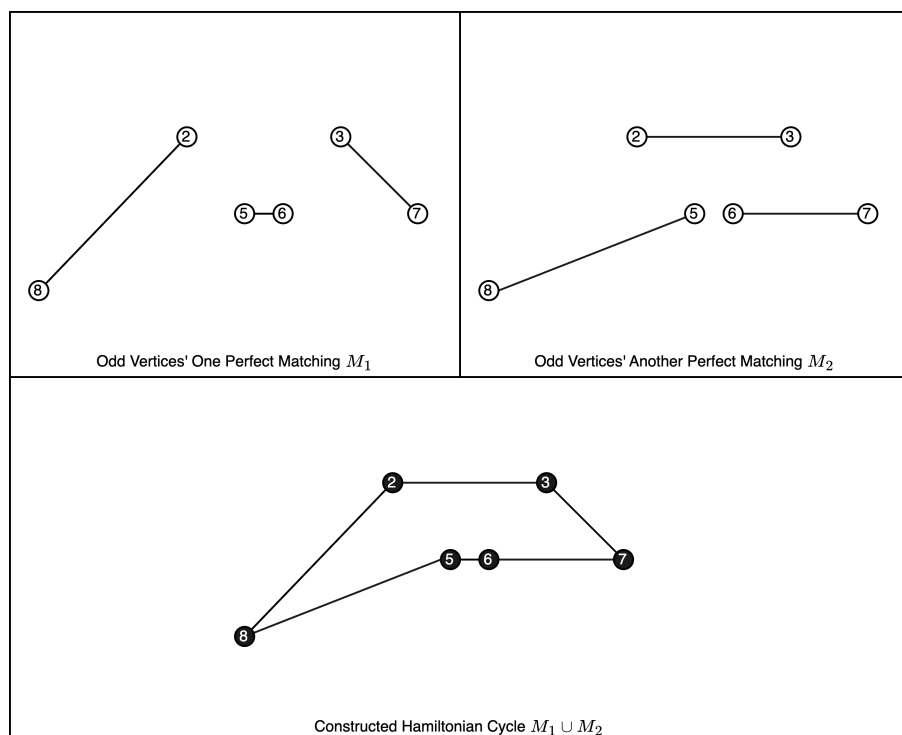


图 3: 最小权完美匹配 (举例)

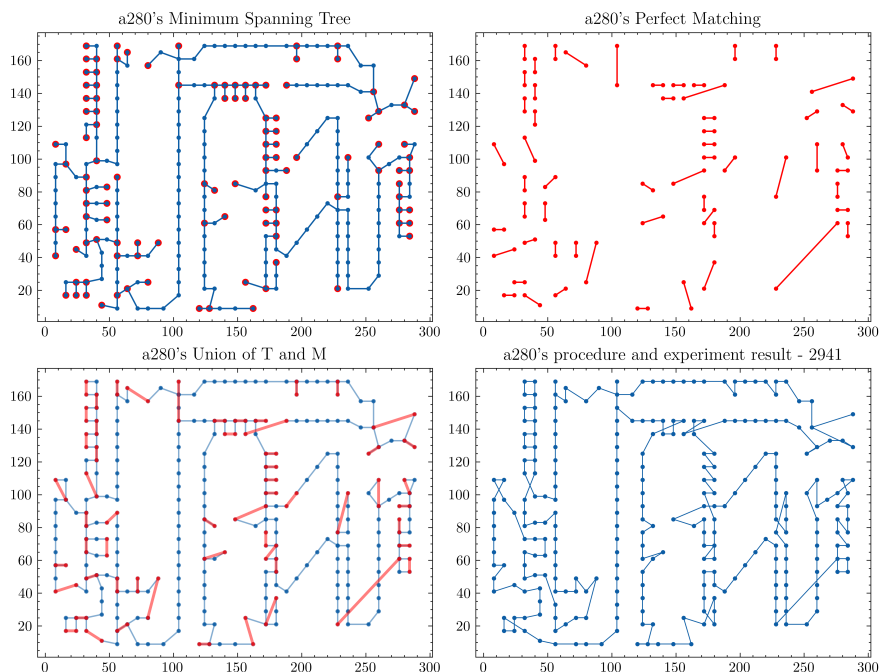


图 4: 克里斯托菲德斯算法 (实例)

### 2.1.3 2-OPT 改进算法

如果题目数据使用欧几里得距离, 那么最优路线必定不会自交。基于这一观察, 有学者倡导使用“改进”算法, 即对于一条可行回路查漏补缺对其进行细微调整。“知错能改, 善莫大焉”。“怎么改”对应着一种“操作”, 即一种“邻域算子”。

解空间中的一个巡回旅行路线直接或间接对应一个全排列  $\sigma$ , 若将其视作  $n$  维空间中的一个点, 其邻域  $\sigma'$  操作有很多种, 如插入、块插入、块反转、点对换、块交换、边重组等等。边重组中, 最著名的是 2-交换 (2-OPT)、3-交换 (3-OPT)。2-交换的步骤就是删除路线中的两条边, 用另外两条更短的边重新连接, 是路径连为一体。反复使用 2-交换算子改进路线, 就可以在很大程度上改进“虎头蛇尾”、“目光短浅”的回路路线。

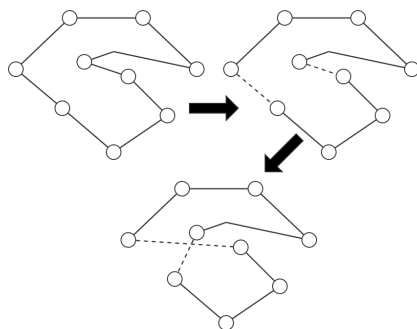


图 5: 2-OPT (图例)

2-OPT 改进算法伪代码如下：

---

**Algorithm 2:** 2-OPT Algorithm

---

**input** :  $V = \{v_1, \dots, v_n\}, dist(\cdot, \cdot), L(\cdot), \sigma$   
**output**:  $\sigma^*$

```

1  $length \leftarrow L(\sigma)$ ;
2 repeat
3    $improved \leftarrow \text{False}$ ;
4   for  $i \leftarrow 0$  to  $n - 3$  do
5     for  $j \leftarrow i + 2$  to  $n$  do
6        $\sigma' \leftarrow \sigma$ ;
7        $\sigma'[i + 1 \dots j] \leftarrow \text{reverse}(\text{tour}'[i + 1 \dots j])$ ;
8        $length' \leftarrow L(\sigma')$ ;
9       if  $length' < length$  then
10         $\sigma \leftarrow \sigma'$ ;
11         $length \leftarrow length'$ ;
12         $improved \leftarrow \text{True}$ ;
13 until  $\neg improved$ ;
14  $\sigma^* \leftarrow \sigma$ ;
```

---

3-OPT 改进算法与之类似，但是可能的情况更多：

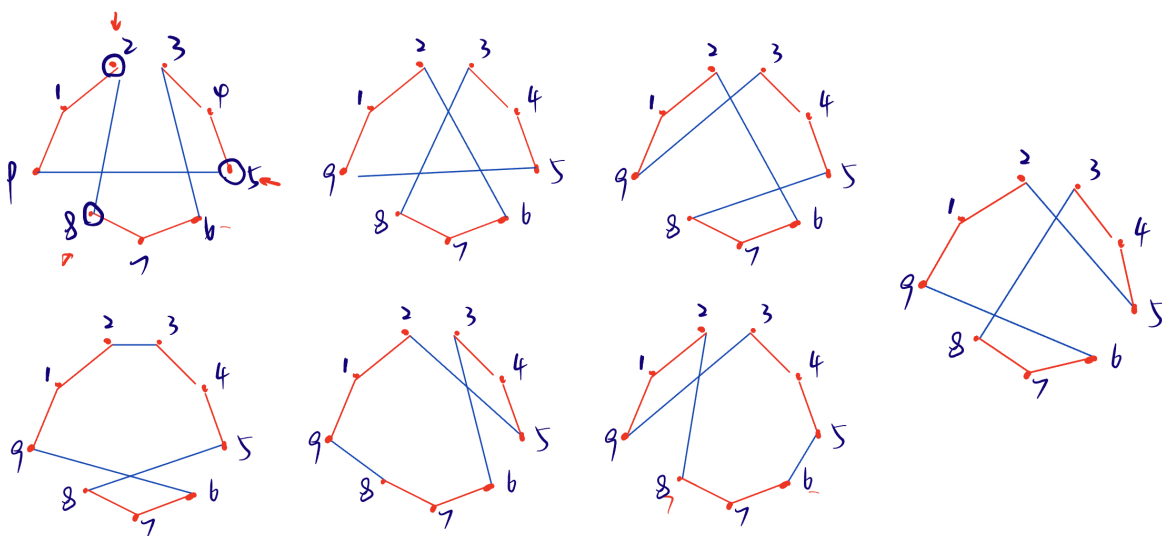


图 6: 3-OPT (图例)



## 2.2 随机型近似算法

### 2.2.1 王磊算法

王磊老师在课上跟学生说过一个随机型近似算法（王磊算法），基本算法  $A_1$  描述如下：

**输入：** 指导序列  $\gamma$ ， $\gamma$  是所有顶点的一个全排列；

**开局：** 用前 3 个点绘制外接凸多边形，构成初始的部分回路  $\sigma = (\gamma(1), \gamma(2), \gamma(3))$ ；

**迭代：** 每次从当前格局向新格局演化时，选择下一个点，按照使得新的部分回路长度尽量短的贪心策略，将其插入至  $\sigma$  合适的位置；

**停机：** 直到产生  $n$  个点的回路  $\sigma$ ，算法结束，输出  $\sigma$ 。

---

#### Algorithm 3: Generate Tour from a Conductor

---

**input :**  $V = \{v_1, \dots, v_n\}, dist(\cdot, \cdot), \gamma$  a permutation of  $V$   
**output:**  $\sigma$  the tour

```

1  $\sigma \leftarrow (\gamma(1), \gamma(2), \gamma(3))$ ;
2 for  $i \leftarrow 4$  to  $n$  do
3    $best\_idx \leftarrow \arg \min_{j \in \{1, \dots, |\sigma|\}} L(\sigma_{1:j}) + dist(\gamma(i), \sigma(j)) + L(\sigma_{j:|\sigma|}) - L(\sigma)$ ;
4    $\sigma \leftarrow (\sigma_{1:best\_idx}, \gamma(i), \sigma_{best\_idx+1:|\sigma|})$ ;
```

---

对所有指导序列  $\gamma \in \Gamma$ ，目标是  $\gamma^* = \arg \min_{\gamma \in \Gamma} L(A_1(\gamma))$ 。据此，提出算法  $A_2$ ：

**初始格局：** 初始化  $\gamma$ ，通过  $A_1$  算法指导获得回路  $\sigma = A_1(\gamma)$ ，以及长度  $l = L(\sigma)$ ；

**邻域搜索：** 邻域变换得到  $\gamma'$ 、 $\sigma'$  及  $l'$ ，若  $l' < l$ ，依照最陡下降法，更新格局  $\gamma \leftarrow \gamma'$ ；

**跳坑策略** 当  $\gamma$  位于局部最优，即几乎尝试所有邻域都无法改善目标函数时，重新随机初始化  $\gamma$  或者采用大步长算子（如块移动、块对换、块插入）对  $\gamma$  进行变换。

---

#### Algorithm 4: WangLei Algorithm

---

**input :**  $V, dist(\cdot, \cdot), L(\cdot), epoch, early\_stop$   
 $permutation(\cdot), transform(\cdot), shuffle(\cdot)$   
**output:**  $\sigma, l$

```

1  $\gamma \leftarrow permutation(V)$ ;  $\sigma \leftarrow A_1(\gamma)$ ;  $l \leftarrow L(\sigma)$ ;
2 for  $e \leftarrow 1$  to  $epoch$  do
3    $\gamma' \leftarrow transform(\gamma)$ ;  $\sigma' \leftarrow A_1(\gamma')$ ;  $l' \leftarrow L(\sigma')$ ;
4   if  $l' < l$  then
5      $\gamma \leftarrow \gamma'$ ;  $\sigma \leftarrow \sigma'$ ;  $l \leftarrow l'$ ;
6   if no improvement for  $early\_stop$  iterations then
7      $\gamma \leftarrow permutation(V)$  or  $\gamma \leftarrow shuffle(\gamma)$ ;
```

---

王磊算法的创新和启发意义主要有以下三点：

1. 传统启发算法求解旅行商问题，几乎全部都是直接在回路  $\sigma$  上进行邻域扰动，获得新解。而王磊算法则提出了  $\gamma \rightarrow \sigma$  的映射算法  $A_1$ ，这相当于对原有解空间进行了“扭曲”，将求“回路”的原问题转化为了求“指导顺序”的新问题。

在最优化理论中，原始问题很难求解时，往往通过引入对偶问题的方式，简化对原始问题的求解。在机器学习中，也有代替函数、核函数作为例子。我们不禁要问，对于所有的“指导序列” $\gamma \in \Gamma$ ，它们所生成的所有回路集合  $\Sigma^*$ ，是否包含了最优回路  $\sigma^*$ ？

即，通过指导序列将问题转换，问题转换前后是否仍然具有“一致性”？

2. 邻域搜索和跳坑策略思想并不高深。局部极小值的定义来自于函数求极值，跳坑则更有烟火气：如果你已经期末总评满分了，就要跳坑，到更有希望的学府继续深造。

对于旅行商问题而言，无论是回路  $\sigma$ ，还是指导序列  $\gamma$ ，若邻域中的点所对应的回路长度都不比中心点短，则中心点是局部极小值点，当邻域搜索走到局部极小值点时，就采用跳坑策略，进行随机扰动，跳出局部极小值陷阱以后，继续进行邻域搜索。

这其中的问题是，随着邻域算子设计的不同，邻域中的“点”随着维度的增大，个数可能比想象中要多得多，因此有时候不得不采用固定次数的方式来执行邻域搜索。邻域搜索对应“变异”、“开采”，而跳坑策略则对应“探索”，可以说所有的最优化算法都要考虑这两者的平衡。

3. 生成回路算法本身也具有烟火气。想象一下，借一个扎头发的橡皮筋，套住几个点；然后采用贪心策略，将其余点加入回路。

传统的最近邻点贪心策略是，最后一步方能连成回路，这就导致目光浅显、虎头蛇尾；而如果是在一个成形的“回路”中添加，每次添加评价的都直接是回路的全长，则能一定程度上缓解“短视”问题。

这启发我们同样是贪心策略，但是如何运用，运用的好不好则是可以评价的。

### 2.2.2 模拟退火

事实上，人们从物理世界状态演化、自然界各种现象、千百年来生存斗争经验获得启发，以仿生拟人拟物途径设计了各种千奇百怪五花八门的算法。模拟退火是其中一种，具有自然背景而且实现简单。

模拟退火并没有显式地将跳坑策略（探索）和邻域搜索（开采）分成两阶段看待；它的基本思想是，以接受劣解，且接受劣解的概率随迭代次数递减直至无限趋近于零。如果只接受优解，则容易早熟，多样性不足，易于陷入局部最优，因此需要接受劣解；如果一味接受劣解，则无法保证收敛性，因此需要控制接受劣解的概率。

**Algorithm 5:** SimulatedAnnealing Algorithm

---

**input** :  $V, dist(\cdot, \cdot), L(\cdot), transform(\cdot)$   
 $T, \epsilon, \alpha, time\_out, early\_stop$   
**output:**  $\sigma^*, L^*$

```

1 start_time  $\leftarrow$  current time;
2 while current time - start_time < time_out do
3    $\sigma \leftarrow$  permutation( $V$ );
4    $L \leftarrow L(\sigma)$ ;
5   while  $T > \epsilon$  do
6     for step  $\leftarrow$  1 to early_stop do
7        $\sigma' \leftarrow$  transform( $\sigma$ );  $L' \leftarrow L(\sigma')$ ;  $\Delta L \leftarrow L' - L$ ;
8       if  $\Delta L < 0$  or random(0, 1)  $\leq e^{\frac{-\Delta L}{T}}$  then
9          $\sigma \leftarrow \sigma'$ ;  $L \leftarrow L'$ ;
10       $T \leftarrow T \times \alpha$ ;
11  $\sigma^* \leftarrow \sigma, L^* \leftarrow L$ ;
```

---

### 3 遗传算法及改进策略

#### 3.1 传统的遗传算法

**Algorithm 6:** Genetic Algorithm for TSP

---

**input** :  $V, epoch, early\_stop, population\_size, pc, pm$   
**output:**  $\sigma^*, L^*$

```

1 初始化种群;
2 for  $e \leftarrow 1$  to epoch do
3   初始化当前最佳长度为无穷大;
4   for step  $\leftarrow 1$  to early_stop do
5     选择操作: 根据适应度选择当前种群中的一些个体;
6     交叉操作: 根据交叉概率 pc 结合选中的个体产生后代;
7     变异操作: 根据变异概率 pm 改变某些个体的特征;
8     如果找到更优的解, 则更新当前最佳长度;
9   重新初始化种群;
10  $\sigma^* \leftarrow$  找到的最佳解;  $L^* \leftarrow$  最佳解的长度;
```

---

无论是基于邻域搜索和拟人策略跳坑的王磊算法，还是从淬火物理结晶过程获得启发的模拟退火算法，都是基于“个体”的启发算法。而遗传算法，从生物学获得启发，将“个体”扩展至“种群”；除邻域操作（也成“变异”算子）外，新增了“交叉”操作，将“个体理性”和“群体理性”进行结合。传统的遗传算法求解旅行商问题的具体细节为：

**编码** 将执行变异操作的个体直接编码为城市序号的全排列  $\sigma$ ；

**适应** 采用  $\frac{1}{L(\sigma)}$  表示解的优劣，适应度越大，被选择保留的概率越高；

**选择** 采用轮盘赌，计算每条染色体的被选择概率和累计概率，再根据一个随机数确定要保留的染色体；选择操作是遗传算法的核心，一方面，要保证收敛质量好，即回路长度短，另一方面，要保证种群有足够的多样性，避免陷入局部最优的困境；

**交叉** 交叉操作的目的是，集合不同回路的优良顺序特征，常用有顺序交叉和部分映射交叉。

**变异** 通过邻域变换对种群中的个体（回路）进行扰动；遗传算法中，变异概率通常非常小。

### 3.2 改进的遗传算法

我对传统遗传算法的初始化、选择、变异操作做出如下改进：

**初始** 发扬“继承”策略，在初始化阶段，将“2-OPT”和“最近邻点”的结果作为初始化种群的一部分；这样可以极大的减少迭代次数，保证解的收敛性，使得随机的元启发算法依然具有理论保证，回路长度最大不会超过最优回路的 1.5 倍。

**选择** 在选择过程中，弃用轮盘赌法，轮盘赌法的缺陷是，当适应度相似时，选择概率相近，不一定保证选择当前回路长度最小的解，使得收敛性无法保证；我们采用排位等级法，随着适应度的排序等级该确定选择概率，缓解了适应度相近时，选择困难的问题。

**变异** 在变异过程中，除了传统的算子外，设计了一个全新的变异算子。从王磊  $A_1$  算法中获得启发，我们对于一个已知回路  $\sigma$ ，随机剔除  $N$  个城市，然后依序采取贪心策略将被剔除的点添加到回路中。 $N$  取自一个概率分布，这样能够保证剔除城市个数可以动态变化；而剔除策略，分为单点剔除和随机剔除。

下面给出种群初始化的伪代码:

---

**Algorithm 7:** Population Initialization for Genetic Algorithm

---

**input** :  $V, size, init\_population$   
**output:** Initialized population  $P$

```

1  $P \leftarrow init\_population;$ 
2 while  $|P| < size$  do
3    $P.append(permutation(V));$ 

```

---

下面给出选择操作的伪代码:

---

**Algorithm 8:** Selection Operation in Genetic Algorithm

---

```

1 Function  $Select(P, L, size, C, operator):$ 
2    $lengths \leftarrow [L(individual) \text{ for each } individual \in P];$ 
3    $order \leftarrow \text{sort indices of } lengths \text{ in ascending order};$ 
4    $selected \leftarrow [\text{best seen tour}];$ 
5   while  $|selected| < size$  do
6      $idx \leftarrow 0, target \leftarrow 1;$ 
7     while  $random(0, 1) < target \times (1 - C)$  do
8        $idx \leftarrow idx + 1;$ 
9        $target \leftarrow target \times C;$ 
10     $selected.append(P[order[idx]]);$ 
11  return  $selected;$ 

```

---

下面给出变异算子的伪代码:

---

**Algorithm 9:** Greedy Insert Operator for Genetic Algorithm

---

**input** :  $\sigma, dist(\cdot, \cdot), times, dimension$   
**output:** Modified  $\sigma$

```

1 if  $random(0, 1) < 0.5$  then
2    $conductor \leftarrow \text{remove } times \text{ random elements from } \sigma;$ 
3 else
4    $pivot \leftarrow \text{random integer}(1, dimension - times - 1);$ 
5    $conductor \leftarrow \text{remove } times \text{ elements starting at } pivot \text{ from } \sigma;$ 
6 foreach  $vertex \in conductor$  do
7    $best\_idx \leftarrow \arg \min_{j \in \{1, \dots, |\sigma|\}} L(\sigma_{1:j}) + dist(vertex, \sigma(j)) + L(\sigma_{j:|\sigma|}) - L(\sigma);$ 
8    $\sigma \leftarrow (\sigma_{1:best\_idx}, vertex, \sigma_{best\_idx+1:|\sigma|});$ 

```

---

## 4 实验设置与测试结果

### 4.1 数据集与超参数

TSPLIB (<http://comopt.ifl.uni-heidelberg.de/software/TSPLIB95/>) 中公布了旅行商问题的 benchmark 测试数据集。以 EUC-2D 类型的测试数据集中的实例 a280 为例。a280.txt 文件开头有一段说明文字，然后是 280（表示点的个数），接下来有 280 行数据，每行数据含有 3 个数，分别是：当前点的序号、当前点的 x 坐标、当前点的 y 坐标。

表 1: 随机近似算法实验超参数设置

对应算法	超参数	缺省值
GreedyNearestNeighbor	<i>boost</i> , 是否随机选择一个起始城市	<i>True</i>
SimulatedAnnealing	初始温度 $t$ , 终止温度 $\epsilon$ , 衰减系数 $\alpha$	1000, $10^{-14}$ , 0.98
SimulatedAnnealing	重启停机参数 <i>time_out</i> , <i>early_stop</i>	1, 250
WangLeiAlgorithm	重启停机参数 <i>epoch</i> , <i>early_stop</i>	16, 250
Proposed	种群大小 <i>size</i> , 交叉概率 $p_c$ , 变异概率 $p_m$	50, 1, 0.4
Proposed	选择系数 $C$	0.5
Proposed	重启停机参数 <i>epoch</i> , <i>early_stop</i>	6, 7500

\* 提出改进的遗传算法的初始种群仅来自 2-OPT、GreedyNearestNeighbor。

### 4.2 实验结果

由于王磊老师是在 C 语言环境下，选择“最快速度”编译选项，在 CPU 主频为 3.4GHz 的微机上进行的测试；而我对算法的实现均采用 Python 语言编程，不具有可比较性，因此，我弃用了王磊老师于《专业方向综合实践验收的问题》中提到的报道结果，而是用 Python 复现的王磊算法进行比较。

基于 Python 语言编程实现了最近邻点算法、克里斯托菲德斯算法、2-OPT 改进的克里斯托菲德斯算法、模拟退火算法，依照课上所述的基本思想对王磊算法进行了复现作为对比算法，对本文提出的改进的遗传算法进行了测试。选取城市数小于等于 1000 中全部 48 个 benchmark 测试用例对算法进行测试，每个实例计算 10 次。

下面是 10 次计算所得回路长度的最小值、平均值和平均计算时间。实验验证了提出的遗传算法的收敛质量和求解速度：在。

## 5 结束语

算法及复现代码开源在：<https://github.com/DURUII/Homework-Algorithm-TSPLIB95>。

本次专业方向综合实践，我对进化计算、遗传算法、组合优化问题以及算法思想直觉有了进一步的认识，更深刻地体会到开采和探索、多样和收敛、邻域和跳坑、个体和种群的平衡。